

## بررسی رفتار لرزه‌ای سازه‌های فولادی با استفاده از مهاربندهای ترکیبی از جنس فولاد و آلیاژهای حافظه‌دار شکلی

محمد هوشمند<sup>۱</sup>، بهزاد رافضی<sup>۲\*</sup> و جعفر خلیل علافی<sup>۳</sup>

<sup>۱</sup> کارشناس ارشد مهندسی عمران-سازه، دانشگاه صنعتی سهند تبریز

<sup>۲</sup> دانشیار دانشکده مهندسی عمران، دانشگاه صنعتی سهند تبریز

<sup>۳</sup> دانشیار دانشکده مهندسی مواد، دانشگاه صنعتی سهند تبریز

### چکیده

آلیاژهای حافظه‌دار شکلی کاربردهای متنوعی در مهندسی سازه دارند. استفاده از این مصالح به عنوان میراگر در مهاربندها نمونه‌ای از کاربردها می‌باشد. هر چند تحقیق در مورد استفاده از این آلیاژها به عنوان میراگر بیشتر شده است، اما این میراگرها به دلیل داشتن هزینه‌های ساخت بالا، خیلی جنبه اجرایی به خود نگرفته و بیشتر حالت تحقیقاتی دارند. در این مقاله سعی شده است تا مهاربندهایی ترکیبی از جنس فولاد و آلیاژهای حافظه‌دار ارائه گردد. به طوری که این مهاربندهای ترکیبی، هم از لحاظ اقتصادی قابل توجیه باشند و هم از لحاظ عملکرد لرزه‌ای، رفتار قابل قبولی را داشته باشند. به همین دلیل از شش مدل مهاربند ترکیبی استفاده شده است که در این مدل‌ها میزان مصرف طولی آلیاژ حافظه‌دار به ترتیب صفر، ۲۰، ۴۰، ۶۰، ۸۰ و ۱۰۰ درصد می‌باشند. برای ارزیابی مدل‌ها از تحلیل دینامیکی غیر خطی استفاده شده است که تحت زلزله ال سنترو مقایس شده با شتاب‌های حداکثر  $0.6\text{g}$  و  $0.9\text{g}$  قرار گرفته‌اند و در نرم‌افزار ANSYS v11 مدل‌سازی و تحلیل گردیده‌اند. نتایج مطالعات انجام شده مقادیر بهینه استفاده از درصد مهاربند ترکیبی را ارائه می‌دهد. به طوری که می‌توان با استفاده از طرح ارائه شده، سازه‌هایی با رفتار لرزه‌ای مناسب و با هزینه ساخت قابل توجیه طراحی و اجرا نمود.

**وازگان کلیدی:** آلیاژهای حافظه‌دار شکلی، مهاربند ترکیبی، تحلیل دینامیکی غیرخطی، زلزله ال سنترو.

و همکاران [۲] در سال ۲۰۰۰ در یک بررسی جامع آزمایشگاهی، میراگرهای مختلفی با استفاده از آلیاژهای حافظه‌دار شکلی طراحی کردند. نتیجه کار منجر به معرفی سه نوع میراگر با رفتارهای مختلف شد که این سه نوع شامل میراگرهای بازگرداننده<sup>۴</sup> (RCD)، غیر بازگرداننده<sup>۵</sup> (NRCD) و بازگرداننده کمکی<sup>۶</sup> (SRCD) می‌باشند.

Salichs و همکاران [۳] در سال ۲۰۰۱ مطالعه‌ای بر روی نمونه قاب ساختمانی یک طبقه که توسط سیم‌های آلیاژ حافظه‌دار شکلی از نوع نیکل-تیتانیوم در حالت سوپرالاستیک به صورت قطری مهاربندی شده بود، انجام دادند و مدل فوق را تحت تحريك تکیه‌گاهی هارمونیک قرار دادند. نتایج به دست آمده نشان دهنده کاهش قابل توجه تغییر مکان حداکثر قاب به علت ظرفیت میراگری بالای سیستم به کار رفته بود که موجب کاهش خرابی سازه‌ای در مقایسه با مهاربندهای فولادی

### ۱- مقدمه

آلیاژهای حافظه‌دار شکلی به علت دارا بودن خصوصیاتی نظیر ظرفیت میراگری بالا، دوام، مقاومت در برابر خستگی و خوردگی و خصوصیات منحصر به فرد خود از قبیل حافظه شکلی<sup>۱</sup> و فوق ارجاعی<sup>۲</sup> کاربردهای مختلفی در زمینه‌های مختلف مهندسی سازه اعم از کنترل فعال، نیمه فعال و غیرفعال پیدا کرده‌اند [۱]. یکی از مهمترین و مؤثرترین کاربردهای آلیاژهای حافظه‌دار شکلی در مهندسی سازه، استفاده از این مواد به صورت مهاربند در سازه‌های سازه است؛ چرا که این آلیاژها به دلیل دارا بودن خصوصیات منحصر به فرد خود، قابلیت بازگرداندنگی<sup>۳</sup> سازه به حالت اولیه و قابلیت استهلاک ابریزی بالا را فراهم می‌کنند. ولی بسیاری از تحقیقات انجام یافته در مورد کاربرد آلیاژهای حافظه‌دار شکلی در مهندسی سازه در مرحله تئوری می‌باشند که تعداد کمی از آن‌ها آزمایشگاهی شده‌اند.

4- Recentering devices

5- Not-recentering devices

6- Supplemental recentering devices

1- Shape memory effect

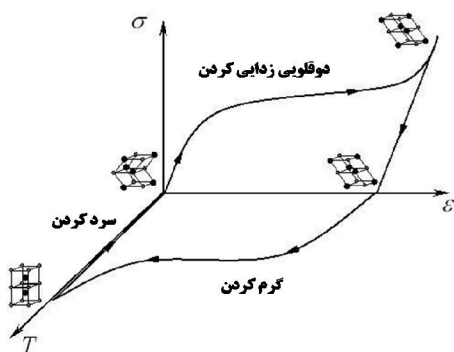
2- Superelastic

3- Re-centering

## ۱-۲- خاصیت حافظه‌داری شکلی

### ۱-۱-۲ اثر حافظه‌داری یک طرفه<sup>۶</sup>

اگر آلیاز حافظه‌دار شکلی در فاز مارتنتزیت دوقلویی<sup>۵</sup> قرار گیرد و دمای آن زیر  $M_f$  (دمای پایان تبدیل فاز آستینیت به مارتنتزیت در حین سرد شدن) باشد، با اعمال تنش، آلیاز تغییر شکل یافته و مارتنتزیت دوقلویی به مارتنتزیت دوقلویی زدایی شده<sup>۷</sup> تبدیل می‌شود که در این حالت آلیاز به حالت اولیه خود بر نمی‌گردد و کرنش پسماند در آن بر جای می‌ماند. با گرم کردن آلیاز تا بالای دمای  $A_f$  (دمای پایان تبدیل فاز مارتنتزیت به آستینیت در حین گرم شدن)، آلیاز تبدیل فاز داده و به فاز آستینیت تبدیل می‌شود و کرنش پسماند از بین می‌رود و آلیاز به حالت اولیه خود بر می‌گردد. در شکل (۱) این حالت نشان داده شده است.



شکل ۱- نمودار تنش-کرنش آلیازهای حافظه‌دار شکلی در حالت حافظه‌داری یک طرفه<sup>[۶]</sup>

### ۲-۱-۲ اثر حافظه‌داری دو طرفه<sup>۸</sup>

در این حالت نیز همانند اثر حافظه‌داری یک طرفه، آلیازهای حافظه‌دار شکلی در فاز مارتنتزیت قرار دارند. در این حالت بدون اعمال تنش، و فقط با گرم و سرد کردن نمونه، تغییر حالت مارتنتزیت به آستینیت و بالعکس رخ می‌دهد و آلیاز می‌تواند دو شکل متفاوت را در دمای بالا و پایین به خاطر بسپارد. البته قابل ذکر است که این خاصیت در تعداد کمی از آلیازهای حافظه‌دار شکلی دیده می‌شود و برای به دست آوردن این حالت باید روش تمرین و ممارست<sup>۹</sup> را به کار برد. از این خاصیت در ساخت بسته‌های برگشت‌پذیر، محرک‌های حساس به دما و درون

با سختی یکسان گردید.

Han و همکاران [۴] در سال ۲۰۰۳ رفتار دینامیکی یک مدل قاب فولادی را که توسط میراگرهایی از جنس فولاد و آلیاز حافظه‌دار مهاربندی شده بود را مورد بررسی قرار دادند. مقایسه نتایج حاکی از کاهش حداقل جابجایی قاب مهاربندی شده نسبت به قاب مهاربندی نشده است.

Auricchio و همکاران [۵] در سال ۲۰۰۶ در تحقیقات خود مقایسه‌ای بین عملکرد دو نوع سیستم مهاربند آلیاز حافظه‌دار فوق ارتقایی و مهاربندهای مقاوم در برابر کمانش<sup>۱</sup>، انجام دادند. در این تحقیق، نمونه‌ها شامل قاب سه طبقه یک دهانه و قاب شش طبقه یک دهانه می‌باشند. این محققین با توجه به نتایج تحلیل‌های انجام یافته به این نتیجه رسیدند که هر دو نوع مهاربندی‌ها به لحاظ جابجایی نسبی ایجاد شده عملکرد مشابهی دارند. اما در مورد جابجایی پسماند، مهاربندهای آلیاز حافظه‌دار شکلی عملکرد به مرتبه بهتری از خود نشان داده‌اند. به طوری که برای مهاربندهای مقاوم در برابر کمانش، مقدار جابجایی پسماند ۱۹۲mm بوده در حالی که برای مهاربندهای آلیاز حافظه‌دار شکلی، مقدار جابجایی پسماند فقط ۲/۵mm می‌باشد.

## ۲- آلیازهای حافظه‌دار شکلی

آلیازهای حافظه‌دار شکلی دارای دو فاز کریستالی به نامهای آستینیت<sup>۲</sup> و مارتنتزیت<sup>۳</sup> می‌باشند. در حالت آستینیت تقارن بالا و در حالت مارتنتزیت تقارن پایین می‌باشد. آستینیت در دماهای بالا و تنش‌های پایین و مارتنتزیت در دماهای پایین و تنش‌های بالا پایدار می‌باشد. لذا با اعمال بارگذاری‌های حرارتی و یا مکانیکی این دو فاز می‌توانند به یکدیگر تبدیل شوند.

آلیازهای حافظه‌دار شکلی دارای خصوصیات ویژه‌ای می‌باشند که در مقایسه با سایر آلیازها و فلزات آنها را متمایز می‌کنند که این خصوصیات عبارتند از: خاصیت حافظه‌داری شکلی و خاصیت فوق ارتقایی. در ادامه هر یک از این خصوصیات توضیح داده می‌شود.

4- One way shape memory effect

5- Twinned martensite

6- Detwinned martensite

7- Two way shape memory effect

8- Training

1- Buckling-restrained braces

2- Austenite

3- Martensite

### ۳- اهداف مقاله

در این مقاله سعی شده است که یک مهاربند ترکیبی از فولاد و آلیاژهای حافظه‌دار شکلی ارائه شود. به طوری که این مهاربند ترکیبی هم از لحاظ اقتصادی قابل توجیه شود و هم از لحاظ رفتار لرزه‌ای قابل قبول باشد. برای ارزیابی رفتار لرزه‌ای مهاربندها، مقدار تغییر مکان باقیمانده سازه و میزان جذب انرژی سازه ملاک مقایسه بین مدل‌ها می‌باشد.

### ۱-۳- صحبت‌سنگی بر روی یک قاب سه طبقه در نرم‌افزار ANSYS

همان طوری که قبلاً گفته شد، این مقاله در صدد پیشنهاد یک مهاربند ترکیبی از جنس SMA و فولاد می‌باشد. به همین دلیل صحبت‌سنگی بر روی یک سازه فولادی دارای مهاربند انجام شده است که این سازه توسط قاسمیه و کاری با نرم‌افزار AIMS مورد تحلیل و بررسی قرار گرفته است [۸]. در ادامه به این سازه و نتایج تحلیل آن اشاره می‌گردد.

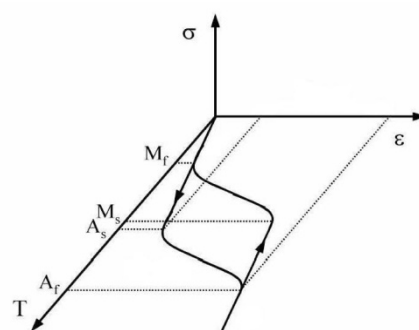
سازه بررسی شده، یک سازه سه طبقه است که توسط Sabelli پیشنهاد شده است. با فرض تقارن در بلان تنها یک قاب دو بعدی از سازه مورد تحلیل و بررسی قرار گرفته است. ارتفاع هر طبقه  $3/96$  متر بوده و پلان سازه  $9/14$  در  $9/14$  متر می‌باشد [۹]. طبقات دارای سقف کامپوزیت با ارتفاع قسمت فولادی  $76$  میلی‌متر و  $50$  میلی‌متر پوشش بتنی می‌باشند. هندسه و مقاطع طراحی شده برای این قاب در جدول (۱) و شکل (۴) ارائه شده است. مهاربندهای SMA در هر طبقه به نحوی انتخاب شده که سختی محوری و نیروی محوری (۵.A) یکسانی با مهاربندهای BRBS داشته باشند. قابل ذکر است که از تغییر شکل محوری تیر صرف‌نظر شده است [۸].

جدول (۱) مشخصات هندسی به کار رفته در مدل Sabelli مدول الاستیسیته اعضای فولادی برابر با MPa  $20000$ ، مدول پلاستیک اعضای فولادی برابر با MPa  $2000$ ، تنش تسلیم اعضای فولادی برابر با MPa  $240$  و درصد میرائی برابر با  $5$  درصد در نظر گرفته شده است و مشخصات مکانیکی بادیندهای SMA فوق ارجاعی مطابق جدول (۲) می‌باشد [۸].

جدول ۱- مشخصات هندسی به کار رفته در مدل Sabelli [۹]

طبقه	بادیندها	تیرها	ستون‌ها
۱	$0/5\text{xx}8\text{xx}8$ HSS	$46\text{x}18$ W	$106\text{x}12$ W
۲	$0/5\text{xx}6\text{xx}6$ HSS	$46\text{x}18$ W	$106\text{x}12$ W
۳	$0/375\text{xx}5\text{xx}5$ HSS	$46\text{x}18$ W	$106\text{x}12$ W

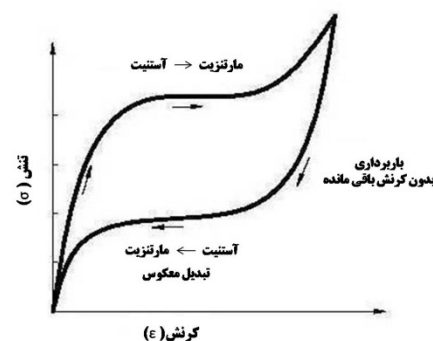
کاشت‌های پزشکی استفاده می‌شود [۷]. در شکل (۲) این حالت نشان داده شده است. قابل ذکر است که در شکل (۲)، دمای  $M_S$  شروع تبدیل فاز آستینیت به مارتینزیت در حین سرد شدن و دمای شروع تبدیل فاز مارتینزیت به آستینیت را در حین گرم شدن نمونه مشخص می‌کنند.



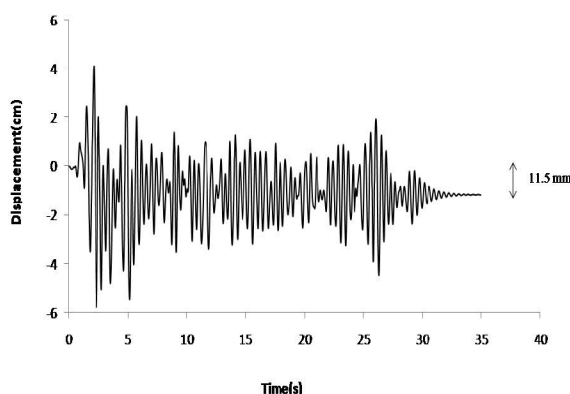
شکل ۲- نمودار تنش- کرنش آلیاژ حافظه‌دار شکلی در حالت حافظه‌داری دو طرفه [۶]

### ۲-۲- خاصیت فوق ارجاعی

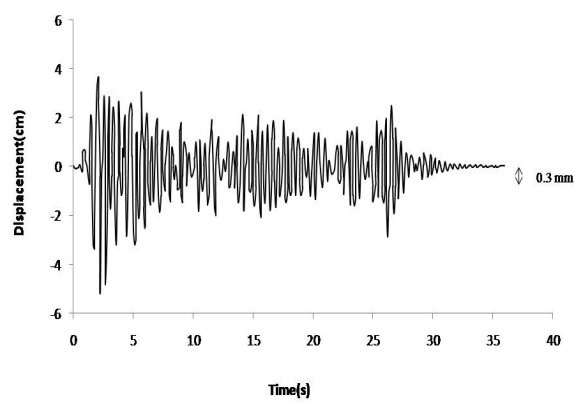
اگر آلیاژ حافظه‌دار شکلی در فاز آستینیت قرار گیرد و دمای آن بالاتر از  $A_f$  و پایین‌تر از  $M_d$  (دماهی بالاتر از  $A_f$  که در این دما آلیاژ رفتار کاملاً پلاستیک دارد) باشد، اعمال تنش به این ماده موجب تبدیل آستینیت به مارتینزیت ناپایدار شده و تنش می‌شود. با انجام باربرداری، فاز مارتینزیت ناپایدار شده و تبدیل معکوس اتفاق می‌افتد که در نتیجه این تبدیل ماده به حالت اولیه خود باز می‌گردد و هیچ کرنش پسماندی بر جای نمی‌ماند. این رفتار خاصیت فوق ارجاعی (سوپر الاستیسیته یا شبیه الاستیسیته) نامیده می‌شود. شکل (۳) رفتار سوپر الاستیسیته را در آلیاژ حافظه‌دار به وضوح نشان می‌دهد.



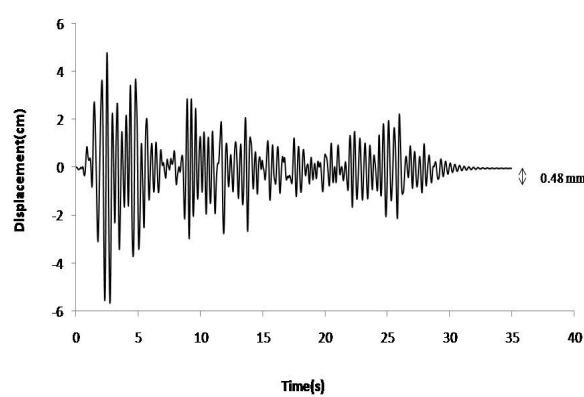
شکل ۳- نمودار تنش- کرنش آلیاژ حافظه‌دار شکلی در حالت فوق ارجاعی [۶]



شکل ۶- تاریخچه زمانی تغییر مکان افقی تراز طبقه سوم در سیستم مهاربند فولادی مقاوم در برابر کمانش به دست آمده از تحلیل ANSYS

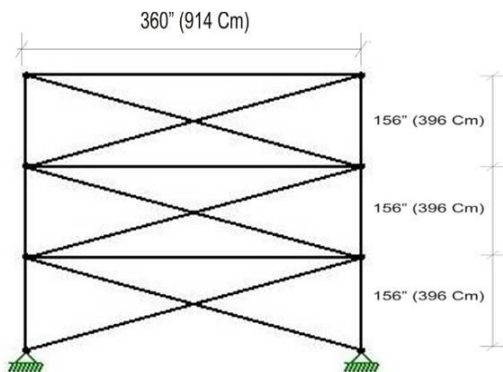


شکل ۷- تاریخچه زمانی تغییر مکان افقی تراز طبقه سوم در سیستم مهاربند از جنس آلیاژ حافظه‌دار شکلی به دست آمده از نتایج قاسمیه و کاری [۸]



شکل ۸- تاریخچه زمانی تغییر مکان افقی تراز طبقه سوم در سیستم مهاربند از جنس آلیاژ حافظه‌دار شکلی به دست آمده از تحلیل ANSYS

همان طوری که در شکل‌های (۵) تا (۸) دیده می‌شود، نتایج به دست آمده حاکی از تطابق قابل قبولی بین نمودارهای ANSYS به دست آمده از نتایج قاسمیه و کاری و تحلیل می‌باشد.

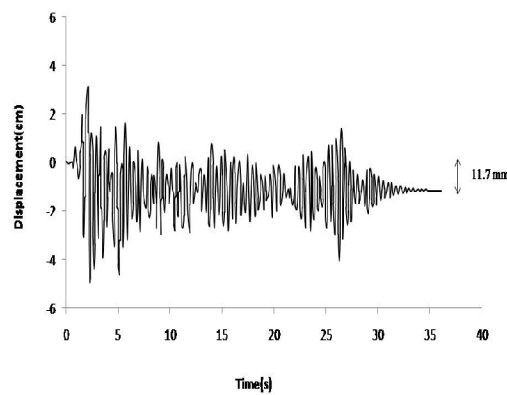


شکل ۴- مدل هندسه سازه نمونه [۹]

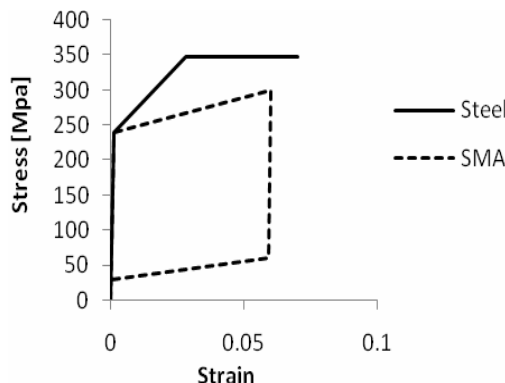
جدول ۲- پارامترهای بکار رفته در مدل رفتاری SMA

تنش تسلیم	مقدار (MPa)
Martensite-to-Austenite start stress	۴۲۰
Martensite-to-Austenite finish stress	۵۰۰
Austenite-to-Martensite start reverse-stress	۳۰۰
Austenite-to-Martensite finish reverse-stress	۲۰۰
phase transformation strain	۶/۵٪
Martensite-to-Austenite Module of elasticity	۴۰۰۰۰

در این صحبت‌سنگی تنها دو نمونه از مدل‌های کاری بررسی شده است و این مدل‌ها بدین صورت می‌باشند که در هر دو حالت، سازه مورد نظر تحت زلزله ال سنترو با شتاب ۰/۶g قرار گرفته است. مدل اول دارای مهاربند فولادی مقاوم در برابر کمانش بوده و مدل دوم دارای مهاربند از جنس آلیاژهای حافظه‌دار شکلی می‌باشد. در شکل‌های (۵) تا (۸) نمودارهای به دست آمده توسط کاری [۸] و نمودارهای به دست آمده توسط نرم‌افزار ANSYS جهت مقایسه ارائه شده‌اند.



شکل ۵- تاریخچه زمانی تغییر مکان افقی تراز طبقه سوم در سیستم مهاربند فولادی مقاوم در برابر کمانش به دست آمده از نتایج قاسمیه و کاری [۸]

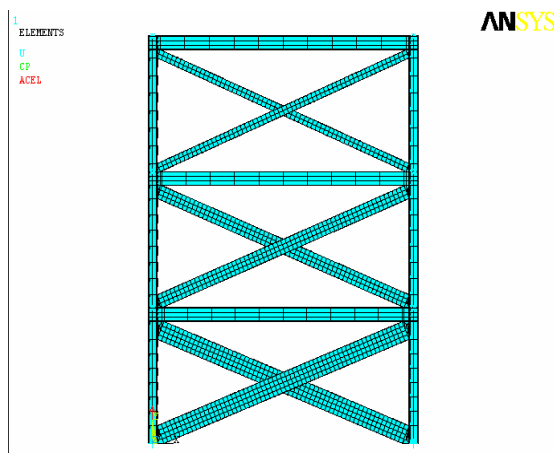


شکل ۱۰- نمودار تنش - کرنش فولاد و آلیاژ حافظه‌دار شکلی به کار برده شده در مهاربندها

جدول ۴- پارامترهای به کار رفته در مدل رفتاری SMA [۱۱]

ثابت	مفهوم	مقادیر
$\sigma_s^{AS}$	تنش مربوط به آغاز تبدیل فاز مستقیم	۲۴۰ [MPa]
$\sigma_f^{AS}$	تنش مربوط به پایان تبدیل فاز مستقیم	۳۰۰ [MPa]
$\sigma_s^{SA}$	تنش مربوط به آغاز تبدیل فاز معکوس	۶۰ [MPa]
$\sigma_f^{SA}$	تنش مربوط به پایان تبدیل فاز معکوس	۳۰ [MPa]
$\varepsilon_L$	حداکثر کرنش ایجاد شده در اثر تبدیل فاز	۶ %
$Y_{mrt}$	مدول مارتزیت	۸۰۰۰ [MPa]

برای مدل سازی المان های قاب در Solid185 ANSYS، از استفاده شده است و این به خاطر قابلیت معرفی مدل رفتاری آلیاژ حافظه دار در این المان می باشد. به دلیل استفاده از Solid ایجاد مفصل کامل در اتصال مهاربند به تیر-ستون امکان پذیر نمی باشد و همین عمل باعث ایجاد نیروی اضافی در گوشه های مهاربندها می شود. در شکل (۱۱) نحوه مدل سازی قاب در ANSYS و در شکل (۱۲) نحوه مشبندی و اتصال مهاربند به تیر-ستون نشان داده شده است.



شکل ۱۱- نحوه مدل سازی قاب در ANSYS

البته قابل ذکر است که تفاوت جزئی بین مدل ها وجود دارد که دلیل اصلی آن را می توان در نحوه اتصال مهاربند به تیر-ستون دانست. بدین معنی که در مدل های بررسی شده در ANSYS امکان ایجاد مفصلی کامل میسر نگردیده است؛ در حالی که مدل های کاری به صورت مفصل کامل در نظر گرفته شده است. در بخش (۲-۳) نحوه اتصال مهاربند به تیر-ستون در ANSYS شرح داده شده است.

### ۲-۳- مشخصات مدل

سازه مورد بررسی، همان سازه سه طبقه پیشنهادی توسط Sabelli است که در بخش صحبت سنجی ارائه و توضیح داده شده است. تفاوتی که در این بخش وجود دارد این است که مدل رفتاری آلیاژها متفاوت شده است. مدل هایی که برای این تحقیق استفاده شده بدین صورت می باشند که مهاربندها، ترکیبی از فولاد و آلیاژهای حافظه دار شکلی بوده و میزان مصرف طولی این آلیاژها به ترتیب صفر، ۴۰، ۶۰، ۸۰، ۱۰۰ درصد می باشند که مدل اول، همان مدل مهاربند فولادی و مدل آخر، همان مدل مهاربند آلیاژ حافظه دار شکلی می باشد. در جدول (۳) درصد میزان مصرف فولاد و SMA به کار برده شده در مهاربندها و در شکل (۹) شماتیکی از این مهاربندها نشان داده شده است.

جدول ۳- درصد میزان مصرف فولاد و SMA به کار برده شده در مهاربندها

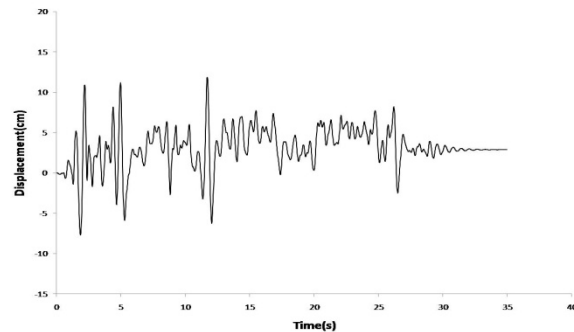
نوع مدل	درصد مصرف طولی آلیاژ حافظه دار شکلی	درصد مصرف طولی فولاد
مدل اول	.	۱۰۰
مدل دوم	۲۰	۸۰
مدل سوم	۴۰	۶۰
مدل چهارم	۶۰	۴۰
مدل پنجم	۸۰	۲۰
مدل ششم	۱۰۰	.



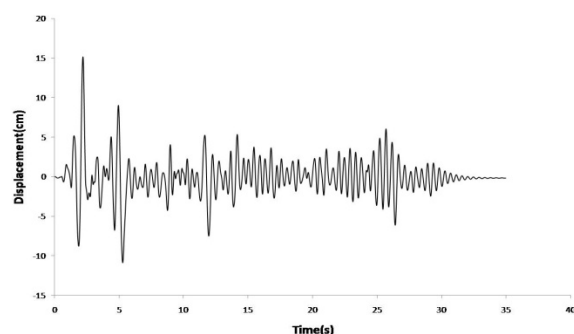
شکل ۹- شماتیک مهاربند به کار برده شده در سازه

مدل رفتاری فولاد و آلیاژ حافظه دار شکلی به کار برده شده در مهاربندها در شکل (۱۰) و جدول (۴) نشان داده شده است.

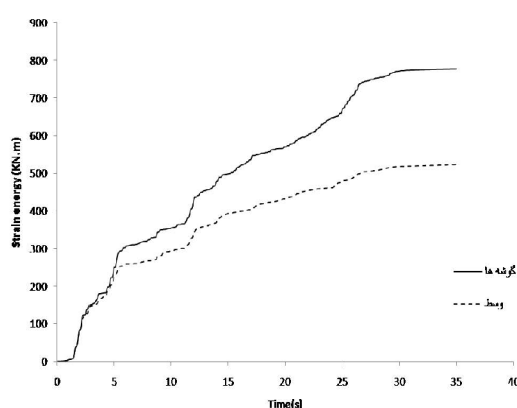
شکل‌های (۱۵) تا (۱۷)، برای حالتی که سازه تحت حداکثر شتاب  $0.9g$  قرار گرفته است، جهت مقایسه نشان داده شده‌اند. جدول (۵) مقایسه عملکرد لزهای این دو مهاربند را تحت حداکثر شتاب‌های  $0.6g$  و  $0.9g$  ارائه می‌دهد.



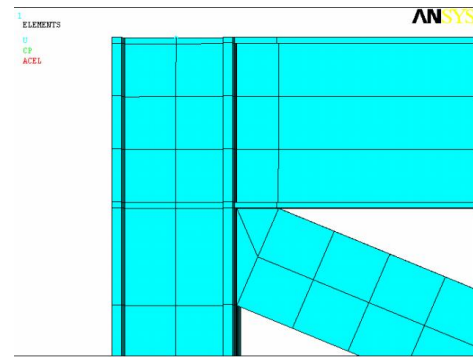
شکل ۱۵- تاریخچه زمانی تغییر مکان افقی تراز طبقه سوم تحت حداکثر شتاب  $0.9g$  در حالتی که آلیاژ حافظه‌دار در وسط قرار گرفته است.



شکل ۱۶- تاریخچه زمانی تغییر مکان افقی تراز طبقه سوم تحت حداکثر شتاب  $0.9g$  در حالتی که آلیاژ حافظه‌دار در گوشه‌ها قرار گرفته است.



شکل ۱۷- مقایسه نمودارهای انرژی کرنشی سازه تحت حداکثر شتاب  $0.9g$  در حالتی که آلیاژ حافظه‌دار در وسط و در گوشه‌ها قرار گرفته‌اند.



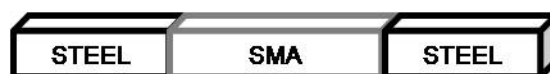
شکل ۱۲- نحوه مش‌بندی و اتصال مهاربند به تیر- ستون

### ۳-۳- تحلیل و نتایج آن

دو تفاوت عمده بین رفتار فولاد و آلیاژ حافظه‌دار وجود دارد که یکی از این تفاوت‌ها، این است که آلیاژ حافظه‌دار بعد از تحمل یک کرنش بزرگ، قادر است به حالت اولیه خود باز گردد و به اصطلاح تغییر مکان افقی سازه را به حداقل برساند و دیگری این که میزان جذب انرژی در سازه را افزایش می‌دهد. در این بخش سعی شده است تا با مقایسه نمودار تاریخچه زمانی تغییر مکان افقی و نمودار انرژی کرنشی سازه در تمامی مدل‌ها، بهینه‌ترین مهاربند را هم از لحاظ مصرف آلیاژ حافظه‌دار شکلی و هم از لحاظ رفتار لزهای ارائه داد.

### ۳-۳-۱- نحوه قرارگیری فولاد و آلیاژ حافظه‌دار در مهاربند

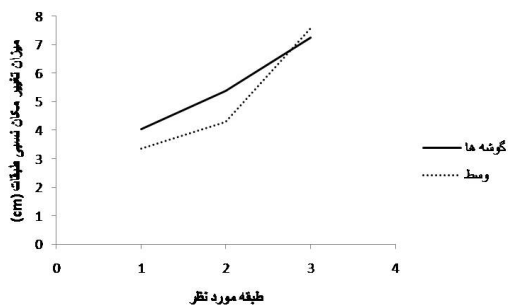
یکی از مسائلی که در این نوع مهاربند‌ها به وجود می‌آید ترتیب قرارگیری آلیاژ‌ها در طول مهاربند می‌باشد. به طوری که بتوان عملکرد لزهای مناسب را از مهاربند به دست آورد. در این شرایط دو حالت قابل بررسی است که حالت اول این است که آلیاژ حافظه‌دار شکلی مصرفی در وسط مهاربند به کار برده شود (مطابق شکل (۱۳)) و در حالت دیگر، این آلیاژ‌ها در گوشه‌های مهاربند به کار برده شوند (مطابق شکل (۱۴)). ابتدا این دو حالت مقایسه و بهترین وضعیت ملاک عمل خواهد بود.



شکل ۱۳- قرارگیری آلیاژ حافظه‌دار در وسط مهاربند



شکل ۱۴- قرارگیری آلیاژ حافظه‌دار در گوشه‌های مهاربند

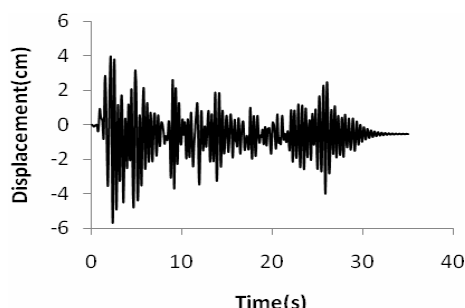


شکل ۱۹- مقایسه تغییر مکان نسبی طبقات تحت حداکثر شتاب  $0.9g$  در حالتی که آلیاز حافظه‌دار در وسط و در گوشه‌ها قرار گرفته‌اند.

اما میزان تغییر مکان نسبی طبقات تحت حداکثر شتاب  $0.9g$  برای هر دو حالت متفاوت بوده و در طبقات اول و دوم، برای حالتی که SMA در گوشه‌ها قرار دارد بیشتر می‌باشد و در طبقه سوم برای حالتی که SMA در وسط قرار دارد بیشتر می‌باشد. اما مسئله‌ای که در اینجا پیش آمده است این است که در حالت دوم (که SMA در گوشه‌ها قرار دارد) سازه کنترل مناسبی نسبت به تغییر مکان نسبی طبقات از خود نشان داده و سازه کنترل شده عمل می‌کند. اما در حالت اول چنین نبوده و میزان تغییر مکان نسبی طبقه سوم افزایش بالایی را نسبت به طبقه دوم از خود نشان می‌دهد. پس از این، در تمامی مدل‌های ارائه شده در این مقاله، آلیاز حافظه‌دار شکلی در گوشه‌های مهاربند به کار برده می‌شود.

### ۲-۳-۳- مقایسه تغییر مکان افقی باقی مانده و انرژی کرنشی در سازه

نمودارهای تاریخچه زمانی تغییر مکان افقی تراز طبقه سوم تمامی مدل‌ها تحت حداکثر شتاب  $0.6g$  در شکل‌های (۲۰) تا (۲۵) نشان داده شده است.

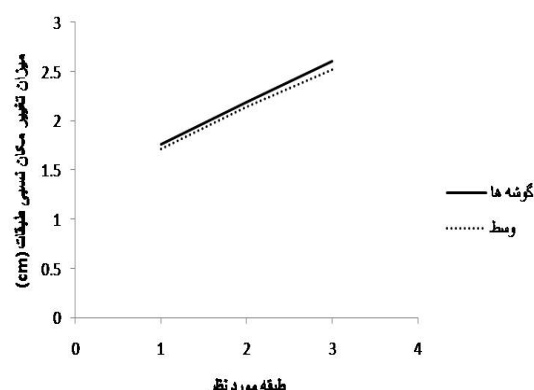


شکل ۲۰- تاریخچه زمانی تغییر مکان افقی تراز طبقه سوم در سیستم مهاربندی با ترکیب SMA ۰% و Steel ۱۰۰% تحت حداکثر شتاب  $0.6g$ .

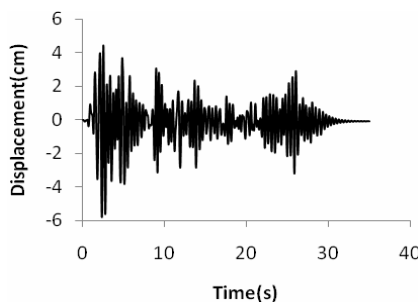
جدول ۵- مقایسه عملکرد سازه در حالتی که آلیاز حافظه‌دار شکلی در وسط و در گوشه‌ها قرار گرفته است

مدل مورد نظر	تغییر مکان باقی مانده تحت حداکثر شتاب $0.6g$ (mm)	میزان انرژی کرنشی تحت حداکثر شتاب $0.6g$ (kN.m)	تغییر مکان باقی مانده تحت حداکثر شتاب $0.6g$ (mm)	میزان انرژی کرنشی تحت حداکثر شتاب $0.6g$ (kN.m)
SMA در وسط	28.73	455.8	5.53	522
SMA در گوشه	1.71	455.9	1.12	776
بهترین عملکرد	در گوشه	در گوشه	در گوشه	در گوشه

همان طوری که در جدول (۵) مشاهده می‌شود، بهینه‌ترین حالت زمانی صورت می‌گیرد که آلیازهای حافظه‌دار در گوشه‌ها قرار گیرد و دلیل اصلی آن این است که در مدل‌های بررسی شده، اتصال مهاربند به تیر و ستون، کاملاً مفصلی نبوده و این باعث می‌شود تا در گوشه‌ها نیروی اضافی تولید شده و باعث شود تا نیروی بیشتری به المان‌های گوشه وارد شود که در این حالت آلیازهای حافظه‌دار شکلی به دلیل قابلیت بازگرداندنگی مهاربند به حالت اول و جذب انرژی بالا عکس العمل بهتری نسبت به فولاد از خود نشان می‌دهند. اما برای مقایسه بهتر این دو حالت، میزان تغییر مکان نسبی طبقات نیز بررسی گردید که در شکل (۱۸) برای حالت  $0.6g$  و در شکل (۱۹) برای حالت  $0.9g$  جهت مقایسه نشان داده شده است. با توجه به اشکال (۱۸) و (۱۹) مشاهده می‌شود که میزان تغییر مکان نسبی طبقات تحت حداکثر شتاب  $0.6g$  برای هر دو حالت یکسان است که این به این دلیل است که در این میزان شتاب، فولاد و SMA رفتار مشابهی نسبت به هم دارند.



شکل ۱۸- مقایسه تغییر مکان نسبی طبقات تحت حداکثر شتاب  $0.6g$  در حالتی که آلیاز حافظه‌دار در وسط و در گوشه‌ها قرار گرفته‌اند.

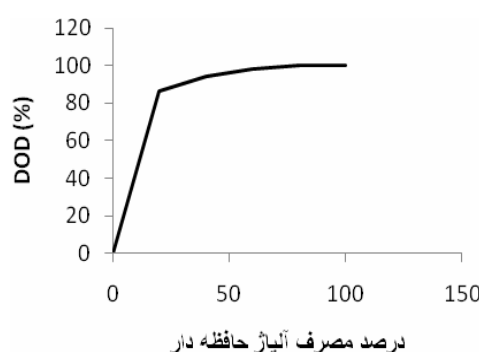


شکل ۲۵- تاریخچه زمانی تغییر مکان افقی تراز طبقه سوم در سیستم مهاربندی با ترکیب ۱۰۰٪ SMA و ۰٪ Steel تحت حداکثر شتاب ۰/۶g

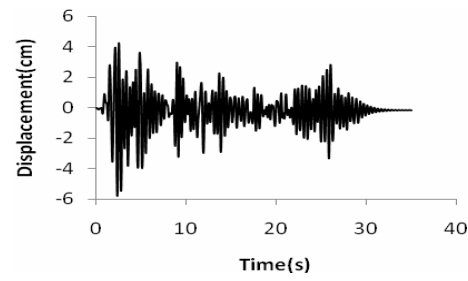
برای مقایسه بهتر، میزان تغییر مکان باقیمانده سازه در سیستم‌های مهاربندی به کار برده شده تحت حداکثر شتاب ۰/۶g در جدول (۶) آورده شده است و همین مقایسه در شکل (۲۶) به صورت نموداری نشان داده شده است. این شرایط برای انرژی کرنشی نیز بررسی شده و در جدول (۷) و شکل (۲۷) نشان داده شده است (به جای DOD، از DOE استفاده شده است).

جدول ۶- مقایسه تغییر مکان باقیمانده سازه در سیستم‌های مهاربندی به کار برده شده تحت حداکثر شتاب ۰/۶g

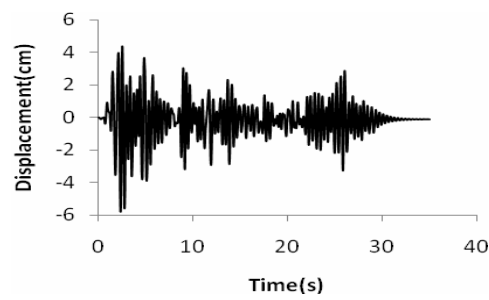
مدل مورد نظر	تغییر مکان باقیمانده در سازه (mm)	DOD (برحسب درصد)
سیستم مهاربندی ۱۰۰٪ SMA و ۰٪ Steel	۵/۳۱	٪۰
سیستم مهاربندی ۸۰٪ SMA و ۲۰٪ Steel	۱/۴۶	٪۸۶
سیستم مهاربندی ۶۰٪ SMA و ۴۰٪ Steel	۱/۱۰	٪۹۴
سیستم مهاربندی ۴۰٪ SMA و ۶۰٪ Steel	۰/۹۳	٪۹۸
سیستم مهاربندی ۲۰٪ SMA و ۸۰٪ Steel	۰/۸۵	٪۹۹/۸
سیستم مهاربندی ۰٪ SMA و ۱۰۰٪ Steel	۰/۸۴	٪۱۰۰



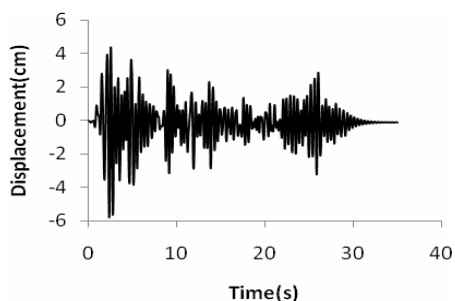
شکل ۲۶- مقایسه درصد مصرف آلیاز حافظه‌دار با DOD تحت حداکثر شتاب ۰/۶g



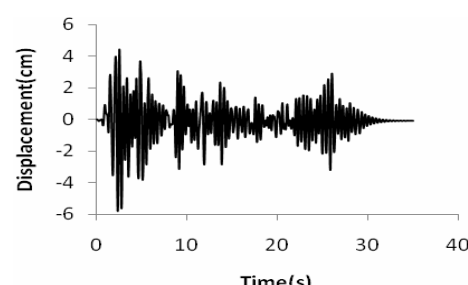
شکل ۲۱- تاریخچه زمانی تغییر مکان افقی تراز طبقه سوم در سیستم مهاربندی با ترکیب ۲۰٪ Steel و ۸۰٪ SMA تحت حداکثر شتاب ۰/۶g



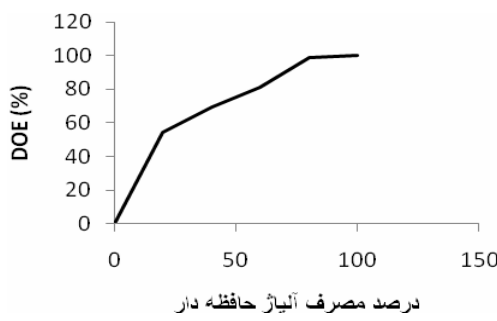
شکل ۲۲- تاریخچه زمانی تغییر مکان افقی تراز طبقه سوم در سیستم مهاربندی با ترکیب ۶۰٪ Steel و ۴۰٪ SMA تحت حداکثر شتاب ۰/۶g



شکل ۲۳- تاریخچه زمانی تغییر مکان افقی تراز طبقه سوم در سیستم مهاربندی با ترکیب ۴۰٪ Steel و ۶۰٪ SMA تحت حداکثر شتاب ۰/۶g



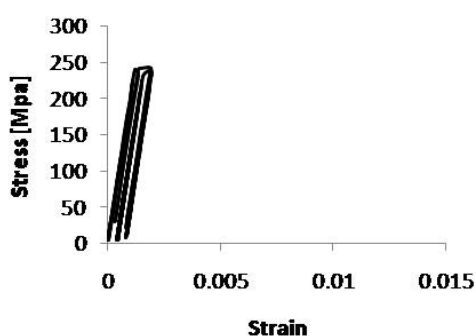
شکل ۲۴- تاریخچه زمانی تغییر مکان افقی تراز طبقه سوم در سیستم مهاربندی با ترکیب ۲۰٪ Steel و ۸۰٪ SMA تحت حداکثر شتاب ۰/۶g



شکل ۲۷- مقایسه درصد مصرف آلیاژ حافظه دار با DOE تحت حداکثر شتاب  $0/6g$

اما باید به این نکته نیز اشاره کرد که هر چند عملکرد لرزاهاي مهاربندها با افزایش SMA، بهبود می‌یابد، اما در حالت کلی تفاوت چندانی در بین مدل‌ها وجود ندارد و این بدین دلیل است که تحت حداکثر شتاب  $0/6g$ ، مهاربندها در حالت خطی باقی‌مانده و در بعضی مواقع کمتر وارد ناحیه غیر خطی می‌شوند و چون SMA و فولاد حالت خطی یکسانی دارند، به همین خاطر عملکرد لرزاهاي یکسانی را از خود نشان می‌دهند (این حالت در مقایسه اشکال (۲۰) تا (۲۵) به وضوح مشاهده می‌شود). به همین خاطر به دلیل هزینه بالای SMA در مقایسه با فولاد، مصرف SMA خیلی به صرفه نخواهد بود. در شکل‌های (۲۸) و (۲۹)، به ترتیب نمودار هیسترزیس مهاربندهای فولاد و SMA تحت حداکثر شتاب  $0/6g$  برای مقایسه بهتر موضوع نشان داده شده‌اند.

همان طوری که گفته شد مدل‌ها تحت حداکثر شتاب‌های  $0/6g$  و  $0/9g$  بررسی شده‌اند که نتایج مدل‌های تحت حداکثر شتاب  $0/9g$  را می‌توان در جدول‌های (۸) و (۹) و شکل‌های (۳۰) تا (۳۲) مشاهده کرد.



شکل ۲۸- نمودار هیسترزیس مهاربند فولادی (مدل اول) تحت حداکثر شتاب  $0/6g$

قابل ذکر است که منظور از DOE و DOD، به ترتیب، میزان تغییر مکان باقی‌مانده و میزان انرژی کرنشی مهاربند مورد نظر در مقایسه با مهاربند فولادی و مهاربند آلیاژ حافظه دار حسب درصد می‌باشد که نحوه به دست آوردن DOE و DOD در روابط (۱) و (۲) نشان داده شده است.

$$DOD = \frac{D_M - D_{ST}}{D_{SMA} - D_{ST}} \quad (1)$$

مقدار تغییر مکان باقی‌مانده در سیستم مهاربندی با

ترکیب  $D_{ST}$  مقدار تغییر مکان باقی‌مانده در سیستم مهاربندی با

ترکیب  $SMA 0\%$  و  $Steel 100\%$  مقدار تغییر مکان باقی‌مانده در سیستم مهاربندی با

$$DOE = \frac{E_M - E_{ST}}{E_{SMA} - E_{ST}} \quad (2)$$

میزان انرژی کرنشی سازه در سیستم مهاربندی با

ترکیب  $E_{ST}$  میزان انرژی کرنشی سازه در سیستم مهاربندی با

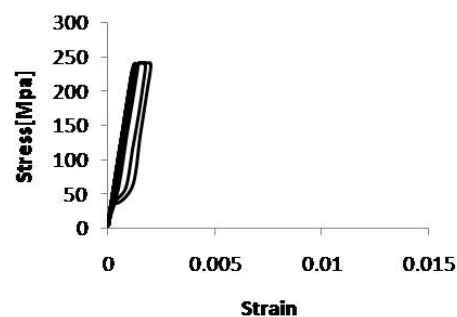
ترکیب  $SMA 0\%$  و  $Steel 100\%$  میزان انرژی کرنشی سازه در سیستم مهاربندی با

جدول ۷- مقایسه میزان انرژی کرنشی سازه در سیستم‌های مهاربندی به کار برده شده تحت حداکثر شتاب  $0/6g$

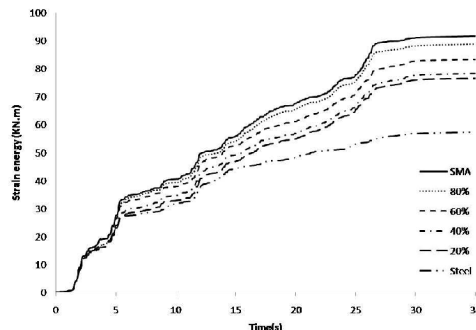
نوع مدل	میزان انرژی کرنشی (KN.m)	DOE (برحسب درصد)
سیستم مهاربندی $0\%$ SMA و $100\%$ Steel	۲۵۲	%۰
سیستم مهاربندی $20\%$ SMA و $80\%$ Steel	۴۵۵	%۵۴
سیستم مهاربندی $40\%$ SMA و $60\%$ Steel	۴۵۶	%۶۹
سیستم مهاربندی $60\%$ SMA و $40\%$ Steel	۴۵۶/۵	%۸۱
سیستم مهاربندی $80\%$ SMA و $20\%$ Steel	۴۵۷/۴	%۹۹
سیستم مهاربندی $100\%$ SMA و $0\%$ Steel	۴۵۷/۵	%۱۰۰

همان طوری که در جداول (۶) و (۷) و اشکال (۲۶) و (۲۷) مشاهده می‌شود، مدل‌های دوم تا پنجم نسبت به میزان مصرف SMA، عملکرد لرزاهاي مطلوبی را از خود نشان می‌دهند و مدل دوم یک مصرف بهینه‌ای را در مقایسه با عملکرد لرزاهاي از خود نشان می‌دهد.

شکل (۳۱) مربوط به مقایسه نمودارهای انرژی کرنشی سازه در سیستم‌های مهاربندی به کار برده شده تحت حداکثر شتاب  $0.9g$  می‌باشد و جدول (۹) مقایسه میزان انرژی کرنشی سازه در سیستم‌های مهاربندی به کار برده شده تحت حداکثر شتاب  $0.9g$  را نشان می‌دهد. شکل (۳۲) مقایسه درصد مصرف آلیاژ حافظه‌دار شکلی با DOE تحت حداکثر شتاب  $0.9g$  را به صورت نمودار نشان می‌دهد.



شکل -۲۹ - نمودار هیسترزیس مهاربند SMA (مدل ششم)  
تحت حداکثر شتاب  $0.9g$



شکل -۳۱ - مقایسه نمودارهای انرژی کرنشی سازه در سیستم‌های مهاربندی به کار برده شده تحت حداکثر شتاب  $0.9g$

جدول -۹ - مقایسه میزان انرژی کرنشی سازه در سیستم‌های مهاربندی به کار برده شده تحت حداکثر شتاب  $0.9g$

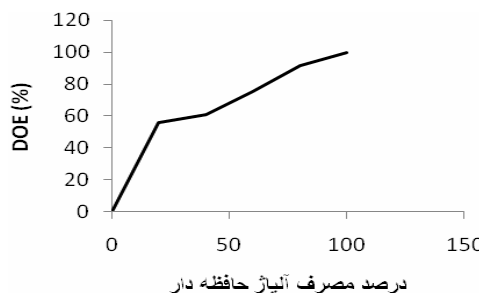
نوع مدل	میزان انرژی کرنشی (KN.m)	DOE (بر حسب درصد)
Steel 100% و SMA 0%	۵۷۴	%۰
Steel 80% و SMA 20%	۷۶۵	%۵۵/۷
Steel 60% و SMA 40%	۷۸۳	%۹۵/۷
Steel 40% و SMA 60%	۸۳۳	%۹۸
Steel 20% و SMA 80%	۸۸۹	%۹۹/۶
Steel 0% و SMA 100%	۹۱۷	%۱۰۰

جدول (۸) مربوط به مقایسه تغییر مکان باقیمانده سازه، در تمامی مدل‌ها، تحت حداکثر شتاب  $0.9g$  می‌باشد و همچنین مقایسه میزان مصرف آلیاژ حافظه‌دار شکلی با مقدار تغییر مکان باقیمانده سازه در مدل‌های مورد نظر، تحت حداکثر شتاب  $0.9g$  در شکل (۳۰) نشان داده شده است.

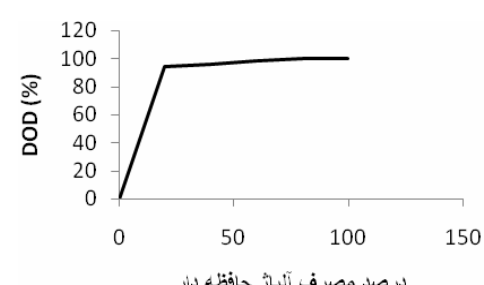
سیستم‌های مهاربندی به کار برده شده تحت حداکثر شتاب  $0.9g$  می‌باشند و جدول (۹) مقایسه میزان انرژی کرنشی سازه در سیستم‌های مهاربندی به کار برده شده تحت حداکثر شتاب  $0.9g$  را نشان می‌دهد.

جدول -۸ - مقایسه تغییر مکان باقیمانده سازه در سیستم‌های مهاربندی به کار برده شده تحت حداکثر شتاب  $0.9g$

تغییر مکان باقیمانده در سازه (mm)	DOD (بر حسب درصد)
Steel 100% و SMA 0%	%۰
Steel 80% و SMA 20%	%۹۴
Steel 60% و SMA 40%	%۹۵/۷
Steel 40% و SMA 60%	%۹۸
Steel 20% و SMA 80%	%۹۹/۶
Steel 0% و SMA 100%	%۱۰۰



شکل -۳۲ - مقایسه درصد مصرف آلیاژ حافظه‌دار با DOE تحت حداکثر شتاب  $0.9g$



شکل -۳۰ - مقایسه درصد مصرف آلیاژ حافظه‌دار با DOD تحت حداکثر شتاب  $0.9g$

حافظه‌دار در گوشها قرار گیرند و دلیل اصلی آن این است که در مدل‌های بررسی شده، اتصال مهاربند به تیر و ستون، کاملاً مفصلی نبوده و این باعث می‌شود تا در گوش‌های مهاربند نیروی اضافی تولید شده و باعث شود تا نیروی بیشتری به المان‌های گوش وارد شود که در این حالت عکس العمل آلیاژهای حافظه‌دار شکلی بهتر از فولاد می‌باشد و البته باید اشاره کرد که در عمل نیز ایجاد مفصل کامل امکان پذیر نیست.

-۲- در این تحقیق، برای به دست آوردن بهینه‌ترین ترکیب در مهاربند باید حالتی را انتخاب کنیم که در نمودارهای درصد مصرف آلیاژ حافظه‌دار شکلی به DOD و DOE، شیب تندي را داشته باشد که این حالت در سیستم مهاربند با ترکیب ۸۰% SMA و ۲۰% Steel می‌باشد که تنها با استفاده ۲۰٪ از آلیاژ حافظه‌دار شکلی، در کمترین حالت، عملکرد ۵۴ درصدی و در بیشترین حالت، عملکرد ۴۹ درصدی را نسبت به سیستم مهاربند با ترکیب ۱۰۰٪ SMA و ۰٪ Steel دارد.

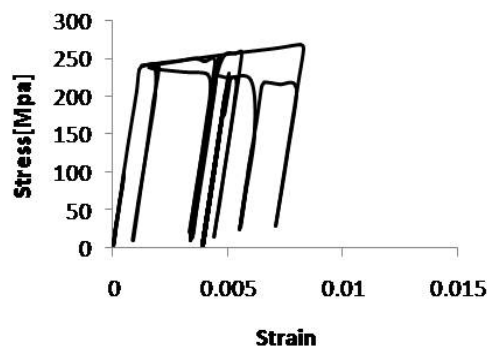
-۳- استفاده از آلیاژ حافظه‌دار شکلی در این مهاربندها برای مقابله با زلزله‌های با حداکثر شتاب ۰/۶g تفاوت چندانی با فولاد نداشته و به کارگیری آن‌ها از لحاظ اقتصادی، خیلی قابل توجیه نمی‌باشد و دلیل اصلی آن این است که در این مهاربندها از تمامی ظرفیت‌های آلیاژ حافظه‌دار شکلی به خوبی استفاده نمی‌شود.

##### ۵- مراجع

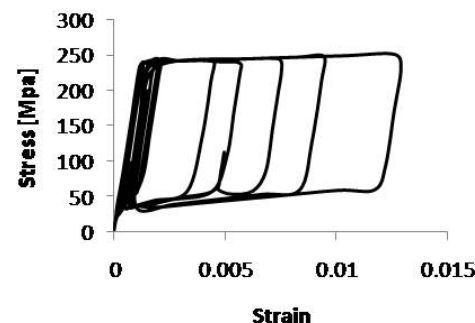
- [1] منصوري، ع.، "بررسی ضربی رفتار قاب بتی مهاربندی شده با آلیاژهای حافظه‌دار شکلی (SMA's)", پایان نامه کارشناسی ارشد، دانشکده مهندسی عمران، دانشگاه تبریز، ۱۳۸۷
- [2] Dolce, M., Cardone, D., Marnetto, R., Implementation and testing of passive control devices based on shape memory alloys, Earthquake Engineering and Structural Dynamics, 2000, 29, 945-968.
- [3] Salichs, J., Hou, Z., Noori, M., Vibration suppression of structures using passive shape memory alloy energy dissipation devices, Intelligent Material Systems and Structures, 2001, 12, 671-680.
- [4] Hon, Y. L., Li, Q. S., Li, A. Q., Leung, A. Y. T., Lin, P. H., "Structural Vibration Control by Shape Memory Alloy Damper", Earthquake Engineering and Structural Dynamics, 2003, 32, 483-494.

با توجه به جدول‌های (۶) تا (۹) و شکل (۳۱)، مشاهده می‌شود که در مدل‌های ارائه شده، با افزایش مصرف آلیاژ حافظه‌دار شکلی میزان جذب ارزی افزایش می‌یابد و با افزایش شدت زلزله (از ۰/۶g به ۰/۹g)، این حالت واضح‌تر می‌شوند که دلیل اصلی آن را می‌توان در خصوصیات ویژه آلیاژهای حافظه‌دار شکلی مشاهده کرد. یعنی بازگشت سازه به حالت اولیه بعد از باربرداری و مقاومت در برابر خستگی که هر دو باعث می‌شود تا حلقه‌های هیسترزیس آلیاژ حافظه‌دار شکلی بزرگ‌تر از فولاد باشد و این توانایی‌های آلیاژهای حافظه‌دار شکلی را در کنترل سازه و بهتر میرا کردن آن نشان می‌دهد.

در شکل‌های (۳۳) و (۳۴)، به ترتیب نمودار هیسترزیس مهاربندهای فولاد و SMA تحت حداکثر شتاب ۰/۹g برای مقایسه بهتر نشان داده شده‌اند.



شکل ۳۳- نمودار هیسترزیس مهاربند فولادی (مدل اول) تحت حداکثر شتاب ۰/۹g



شکل ۳۴- نمودار هیسترزیس مهاربند SMA (مدل ششم) تحت حداکثر شتاب ۰/۹g

##### ۴- نتیجه‌گیری

- ترتیب قرارگیری آلیاژها در طول مهاربند مهم می‌باشد. به طوری که بهینه‌ترین حالت زمانی صورت می‌گیرد که آلیاژهای

- [9] Sabelli, R., "Research on Improving the Design and Analysis of Earthquake-Resistant Steel-Braced frame", Professional Fellowship Report No. PF 2000-9, NEHRP, USA, 2001.
- [10] Desroches, R., McCormick, J., d Delemont, M. A., "Cyclical Properties of Superelastic Shape Memory Alloy", ASCE Journal of Structural Engineering, 2004, 130 (1), 38-46.
- [11] کاظمی چوبی، ک، "بررسی تبلور مجدد و رشد دانه در آلیاژ حافظه‌دار NiTi غنی از نیکل کار سرد شده"، پایان‌نامه کارشناسی ارشد، دانشکده مهندسی مواد، دانشگاه صنعتی سهند تبریز، ۱۳۸۹.
- [5] Auricchio, F., Fugazza, D., Desroches, R., "Earthquake Performance of Steel Frames with Nitinol Braces", Earthquake Engineering, 2006, 10, 45-66.
- [6] Otsuka, K., Wayman, C. M., "Shape Memory Materials", Cambridge University Press, 1998.
- [7] Auricchio, F., Marfia, S., Sacco, E., "Modelling of SMA Materials: Training and Two Way Memory Effects", Computers and Structures, 2003, 81, 2301-2317.
- [8] قاسمیه، م، کاری، ا، "مقایسه بهبود عملکرد لرزه‌ای سازه‌های دارای بادیندهای ساخته شده از آلیاژهای حافظه‌دار شکلی و بادیندهای مقید شده در برابر کمانش"، چهارمین کنگره ملی مهندسی عمران، دانشگاه تهران، ۱۳۸۷.

## EXTENDED ABSTRACT

# Study of Seismic Behaviour in Steel Structures by Using of Combination Braces of Steel and SMA

Mohammad Hooshmand<sup>a,\*</sup>, Behzad Rafezy<sup>a</sup>, Jafar Khalil-Allafi<sup>b</sup>

<sup>a</sup> M.Sc., Department of Civil Engineering, Sahand University of Technology, Tabriz, Iran

<sup>b</sup> Associate professor, Research Center for Advanced Materials and Mineral Processing, Faculty of Materials Engineering, Sahand University of Technology, Tabriz, Iran

**Received:** 24 June 2012; **Accepted:** 17 April 2012

### Keywords:

Shape memory alloys, Combination braces, Nonlinear dynamic analysis, El Centro earthquake

## 1. Introduction

Shape memory alloys (SMA) have found various applications in structural engineering such as active, semi active and passive control due to its characteristics such as high damping capacity, durability, resistance to fatigue and corrosion and its unique characteristics such as shape memory and superelasticity [1]. One of the most important and effective applications of SMA in civil engineering is using these materials as braces, because of the superelastic and shape memory properties of SMA. They have the ability to re-center the original state and to provide high energy dissipation. However, most of the researches about the use of shape memory alloys in structural engineering are in theory level and few of them are experimental.

## 2. Methodology

For the comparison of models, a three-story structure has been used which was proposed by Sabelli. Assuming symmetry in the plan, only a two-dimensional frame of the structure has been analyzed. The height of each floor is 3.96 m and the construction plan is 9.14 in 9.14 m. Ceilings of the floors are composite that the height of the steel part is 76 mm and the height of concrete cover is 50 mm. It is noteworthy that the axial deformation of the beam is ignored [2].

The models used for this study are in such a way that bracings, a combination of steel and SMA, have the consumption of 0, 20, 40, 60, 80 and 100 percent respectively in which the first model is the model of steel brace and the last one is the model of SMA brace. A schematic of the bracing is shown in Fig. 1.

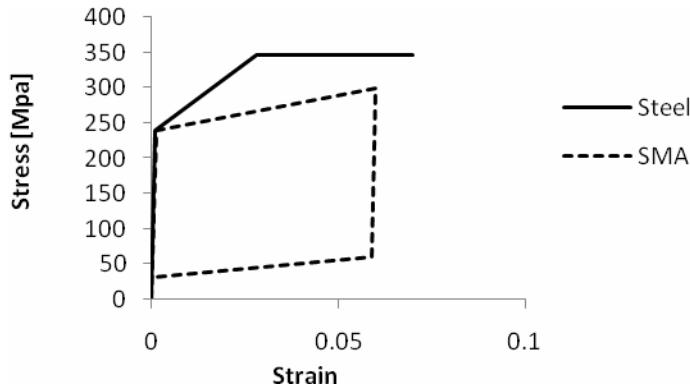


**Fig. 1.** Schematic brace used in construction

Behavioral model of steel and SMA used in the brace is shown in Fig. 2.

\* Corresponding Author

E-mail addresses: m\_Hooshmand@sut.ac.ir (Mohammad Hooshmand), rafezyb@sut.ac.ir (Behzad Rafezy), allafi@sut.ac.ir (Jafar Khalil-Allafi).



**Fig. 2.** Graph of steel and SMA stress - strain used in bracings

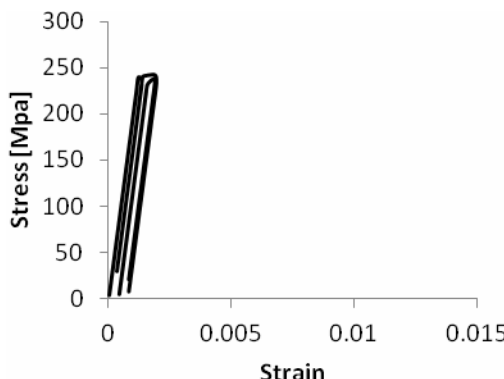
### 3. Results and discussion

There are two major differences between the behaviors of steel and SMA both of which are introduced as the special properties of shape memory alloys. One of the properties is that this alloy is able to return to its primary state after bearing a large strain; in other words, to minimize the horizontal displacement of the structure; and the other one is that it increases the strain energy in the structure. This section has attempted to provide the most optimum brace through comparing the graphs of the history of horizontal displacement and diagram of structural strain energy in all models, both in terms of SMA consumption and seismic behavior.

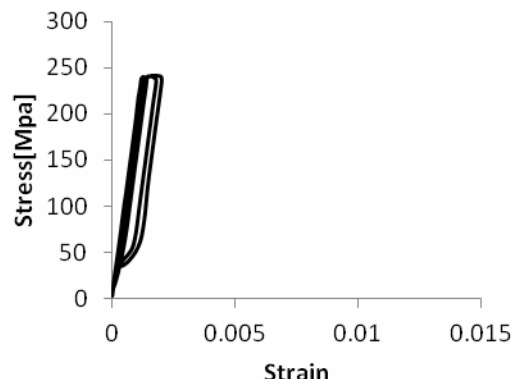
**Table 1.** The comparison of the residual displacement of structure in the used bracing systems under the maximum acceleration of 0.6g

Considered model	Residual displacement of structure (mm)
Bracing System SMA 0% and Steel 100%	5.31
Bracing System SMA 20% and Steel 80%	1.46
Bracing System SMA 40% and Steel 60%	1.10
Bracing System SMA 60% and Steel 40%	0.93
Bracing System SMA 80% and Steel 20%	0.85
Bracing System SMA 100% and Steel 0%	0.84

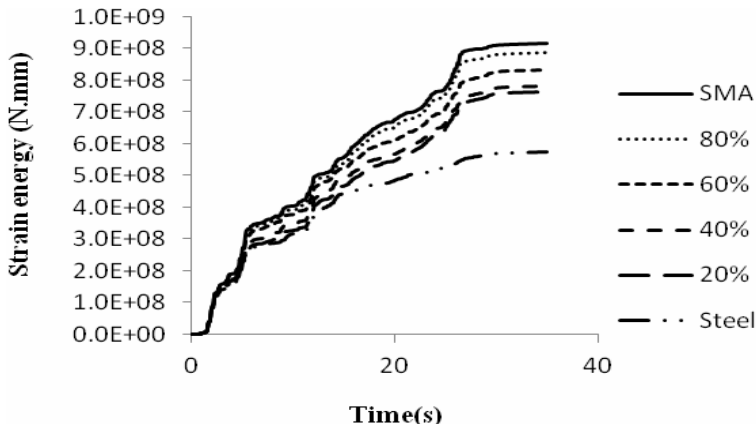
The use of SMA, resistant to earthquakes which has a maximum acceleration of 0.6g, has not a significant difference with steel and utilizing them is not economically justifiable since the entire capacity of the SMA is not properly used. To have a better understanding, hysteresis graph of steel and SMA bracings under maximum acceleration of 0.6g is shown in figs. 3 and 4, respectively.



**Fig. 3.** Hysteresis graph of steel bracing (1st model) under maximum acceleration of 0.6g



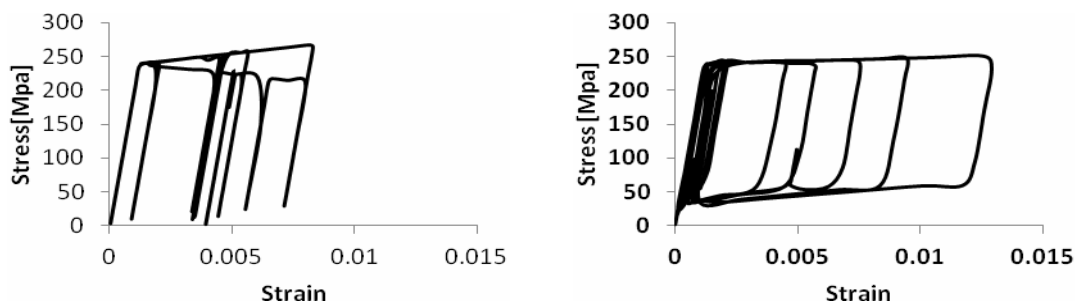
**Fig. 4.** Hysteresis graph of SMA bracing (6th model) under maximum acceleration of 0.6g



**Fig. 5.** Comparison of the graphs of structural strain energy in the used bracing systems under maximum acceleration of 0.9g

According to fig. (5), it is observable that in the presented models, an increase in SMA consumption increases the value of energy absorption and an increase in the intensity of earthquakes (from 0.6g to 0.9g) indicates this result more clearly. The main reason is due to the special properties of SMA. It means that the return of the structure to its primary state after unloading and resistance against fatigue both cause the hysteresis loops of SMA to be bigger than that of steel and it shows the higher ability of SMA in structure controlling and better energy damping.

To have a better comparison, figs. 6 and 7 show hysteresis graphs of SMA braces and steel braces under maximum acceleration of 0.9g.



**Fig. 6.** Hysteresis graphs of steel bracing (1st model) under maximum acceleration of 0.9g

**Fig. 7.** Hysteresis graph of SMA bracing (6th model) under maximum acceleration of 0.9g.

#### 4. Conclusions

The performances of bracing containing 20, 40, 60, 80 and 100% of shape memory alloy and steel bracing have been studied. The seismic response of the braced frames are determined and compared to the braced frame with steel brace. The results indicate that the most suitable location for putting shape memory alloy is the ends of bracing. Also, the secondary moment which is produced in bracing at the connection with gusset plate has transmitted better by shape memory alloy than steel. The total capacity of these alloys is not used in records with maximum acceleration of 0.6g and there is no difference between the behavior of steel brace and alloyed brace. Therefore, it is not necessary to use alloyed brace in low-intensity of earthquake due to economic considerations. It is observed that using 20% SMA in the alloyed brace improves 54% in seismic performance by 54% while by using 100% SMA, the amount of improvement is 94%. It is concluded that the application of bracing which contains 20% SMA, leads to the improvement of seismic performance without considerable increase in constructional cost.

#### 5. References

- [1] Mansouri, A., "Coefficient Behavior of Concrete Frame with Shape Memory Alloys (SMAs) Bracing", MSc thesis, Faculty of Civil Engineering, University of Tabriz, Iran, 2008 [In Farsi].
- [2] Ghassemieh, M., Kari, M., "Comparison of the Seismic Performance Improvement in the Structures with Braces Made of SMA and Buckling-Restrained Braces (BRB)", Fourth National Congress of Civil Engineering, Tehran University, Iran, 2008 [In Farsi].